

تأثیر سلولهای قطبی شده رحم بر تکوین جنینهای موش و میزان سلول بلاستوسیستهای حاصل از هم کشته

محمد رضا باغبان اسلامی نژاد. ^{*}Ph.D., مجتبی رضازاده. ^{*}Ph.D., سعید کاظمی آشتیانی. ^{*}پوک افخاری بیزدی ^{*}Ph.D.

پژوهشکده رویان، گروه جنین شناسی

دانشگاه تربیت مدرس، دانشکده پزشکی، گروه علوم تشریع

آدرس مکاتبه: تهران، صندوق پستی: ۱۹۳۹۵-۴۶۴۴

آدرس مکاتبه: تهران، صندوق پستی: ۱۹۳۹۵-۴۶۴۴

پست الکترونیک: Email: info@royaninstitute.org

چکیده

دریافت مقاله: ۸۰/۰۲/۱۸، پذیرش مقاله: ۸۰/۰۲/۱۸

* هدف: بررسی رشد و تکوین جنینهای دوسلولی موش بر روی تکلایهای قطبی شده سلولهای پوششی رحم انسان

* مواد و روشها: برای این تحقیق بافت اندومتریوم انسانی از بیماران هیستوتومی شده تهیه گردید و سلولهای پوششی آن با استفاده از کلائزناز ۲/۲۵ درصد (نوع A) جدا و بر روی ژل (ECM: Extracellular Matrix) به حالت قطبی و سطح پلاستیک به حالت غیرقطبی کشت شد. پس از تابید ماهیت پوششی سلولهای کشت شده رمی پلاستیک با استفاده از ایمونوہیستوشیمی و قطبی بودن سلولهای کشت شده رمی ژل ECM با روش میکروسکوپ الکترونی گذاره (Transmission) جنینهای دوسلولی موش بر روی تکلایهای قطبی و غیرقطبی کشت گردید و میزان تکوین به طور روزانه ثبت و باروشهای آماری تجزیه و تحلیل شد. در پایان کشت، تعدادی بلاستوسیست به صورت کاملاً اتفاقی انتخاب و با روش افتراکنی رنگ آمیزی و میانگینهای سلولی با روشهای آماری مقایسه گردید.

* یافته‌ها: مشاهده مقاطع میکروسکوپ الکترونی نشان داد که سلولهای کشت شده رمی ژل ECM استوانه‌ای شکل و کاملاً قطبی هستند، در حالی که سلولهای کشت شده رمی پلاستیک، پهن و دوکی شکل می‌باشند. نتایج هم کشتی حاکی از آن بودکه جنینهای دوسلولی کشت شده رمی تکلایهای قطبی در مقایسه با غیرقطبی در تمام مدت ۹۶ ساعت کشت، تکوین بیشتری دارند به طوری که در پایان روز چهارم در گروه قطبی تشکیل بلاستوسیست ۸/۵ درصد بیش از گروه غیرقطبی بود با این وجود تفاوتها از لحاظ آماری معنی دار نبود. نکته حائز اهمیت تعداد سلول بلاستوسیستهای حاصل از تکوین جنینهای دوسلولی بر روی تکلایهای قطبی بود. این جنینها به طور معنی داری تعداد سلول بلاستوسیست بیشتری در مقایسه با جنینهای کشت شده بر روی تکلایهای غیرقطبی داشتند.

* نتیجه گیری: رمی هم رفته به نظر می‌رسد که سلولهای قطبی از لحاظ افزایش تعداد سلول و احتمالاً بهبود کیفیت بلاستوسیست به رشد و تکوین جنین کمک می‌نمایند.

گل واژگان: سلولهای قطبی شده، ابی تلیوم آندومتریوم، تکوین جنین موش

نشریه پژوهشی یاخته، سال هفتم، بهار ۸۴، شماره ۲۵، صفحات ۱۱-۱۱

آزمایشگاهی محسوب می‌شوند در چنین سیستمهایی جنین به خوبی رشد کرده و به مرحله بلاستوسیست و بلاستوسیست در حال خروج از زونا می‌رسد (۱۱). با وجود اثبات تأثیرات مثبت سیستمهای هم کشتی، هنوز هم مکانیسم عملکرد آنها تا حدود زیادی ناشناخته باقی مانده است. در این ارتباط برخی از محققین معتقدند که سلولهای هم کشتی با ترشح مواد امبریوتروفیک (۱۲) و برداشت مواد امبریوتوکسیک (۱۳) به تکوین جنین کمک می‌کنند. Bongso و همکاران معتقدند که تماس بین سلول هم کشتی و جنین برای برقراری ارتباط سلولی به متضور انتقال فاکتورهای امبریوتروفیک نیز ضرورت دارد (۱۴).

به طور معمول، محققین برای ایجاد هم کشتی، ابتدا سلول پوششی را بر سطح پلاستیکی ظروف کشت داده، پس از تشکیل تک لایه، جنین مورد مطالعه را روی آن قرار می‌دهند. مطالعات متعدد نشان داده است که چنین روشی (استفاده از ظروف پلاستیکی برای کشت سلول)، سبب

جنین در بدن مادر توسط سلولها و مایع لوله رحمی و رحم تغذیه می‌شود (۱، ۲). کشت آن در محیط آزمایشگاهی، در واقع به مفهوم محرومیت از محیط مادری و مایعات مغذی آن است (۳، ۴). با وجود این، کشت جنین پستانداران در محیط آزمایشگاهی امکان پذیر بوده ولی تکوین آن در چنین شرایطی از لحاظ میزان تکوین (۵، ۶، ۷)، تعداد سلول (۶) پارامترهای بیوپیلمیابی گوناگون (۸) و میزان توان زیستی پس از انتقال از سطح پایین تری نسبت به محیط بدن برخوردار است. تلاشهاز زیادی در جهت بهبود شرایط انجام گرفته است که از جمله می‌توان به دست کاری محیطهای کشت از لحاظ الکترولیتی و منابع انرژی اشاره کرد ولی این تلاشها موقوفیت کمتری در پی داشته است (۹، ۱۰). راه دیگر برای بهبود شرایط، هم کشتی است که در اصل نوعی شیوه‌سازی محیط امبریوتروفیک دستگاه تنساصلی مادر در محیط

میلی لیتر استرپتومایسین، ۱۰۰ واحد بین المللی در هر میلی لیتر پنی سیلین (Sigma USA)، (FCS: Fetal Calf Serum, Gibco)، ۵درصد (Sigma USA) (Sigma USA)، (EGF: Epidermal Growth Factor; Sigma)، (USA) ۱۰۰ آمیکرو لیتر بر میلی گرم رتینویک اسید به حالت معلق در آورده شد و سپس داخل (Sigma) Millicell CM Insert قوشیده شده با ژل ECM کشت شد. به هر Insert، بخش اپی تیال به اندازه ای اضافه شد که ۳۰ درصد سطح آن را بپوشاند. همچنین سوسپانسیون محتوی غدد اندومتریومی در داخل دیشهای ۲۴ چاهکی از جنس پلاستیک polystyrene کشت گردید. محیط سلولها هر ۳ روز یک بار عوض شد.

آماده سازی برای مطالعه میکروسکوپ الکترونی گذاره
سلولهای غیرقطبی بر روی (Sigma USA) Coverslip کشت شده و پس از آماده سازی به روش معمول، با استفاده از روش Flat Embedding قالب گیری شد. سلولهای قطبی با استفاده از پنس نوک تیز از روی Insert جدا شده و به روش معمول مراحل آماده سازی بافت را پشت سر گذاشت و قالب گیری و در پایان برشهای ۵۰ و ۷۰ نانومتری تهیه گردید. برشهای ۵۰ نانومتری پس از رنگ آمیزی با تولوییدین بلو با میکروسکوپ نوری مورد مطالعه قرار گرفت و برشهای ۷۰ نانومتری با اورانیل استات و سیترات سرب رنگ آمیزی شد و با میکروسکوپ الکترونی ۱۰۰ کیلو ولت (Ziess, Germany) بررسی گردید.

ایمونوهیستوشیمی

برای تعیین نوع سلول در کشت اولیه از آنتی سایتوکراتین ۷ استفاده شد برای این منظور از کیت Dako Envision System (Holland) استفاده گردید.

به منظور رنگ آمیزی ابتدا پراکسید داخلی سلولها با استفاده از peroxidase block به مدت ۵ دقیقه مهار گردید. سپس سلولها با آنتی بادی اولیه (سایتوکراتین ۷)، رقیق شده به نسبت یک به پانزده با بافر ۰/۰۵ مولار Tris-Hcl به مدت ۳۰ دقیقه رنگ شدند. آن گاه پایی مر نشان دار شده با پراکسیداز حاوی آنتی بادی ثانویه اثر داده شد (۳۰ دقیقه) و در پایان DAB substrate chromogen به مدت ۵ تا ۱۰ دقیقه استفاده شد که در اثر آن رسوب قهقهه ای رنگ در سیتوپلاسم ظاهر گردید. هسته سلولها با هماتوکسیلین به مدت ۲ دقیقه رنگ شد (شکل ۱a).

جنین و همکشته

ابتدا موشهای ماده از نژاد NMRI به سن تقریبی ۶ تا ۸ هفته با استفاده از تزریق ۱۰ واحد PMSG و ۱۰ واحد HCG (۴۸ ساعت پس از تزریق اول) تحریک شدند و داخل قفسه های محتوی موش نر از همان نژاد قرار گرفتند و ۱۵ ساعت بعد، از لحاظ داشتن پلاک واثنی به عنوان شاخص حاملگی مورد معاینه قرار گرفتند. این موشها ۴۴ تا ۴۸ ساعت

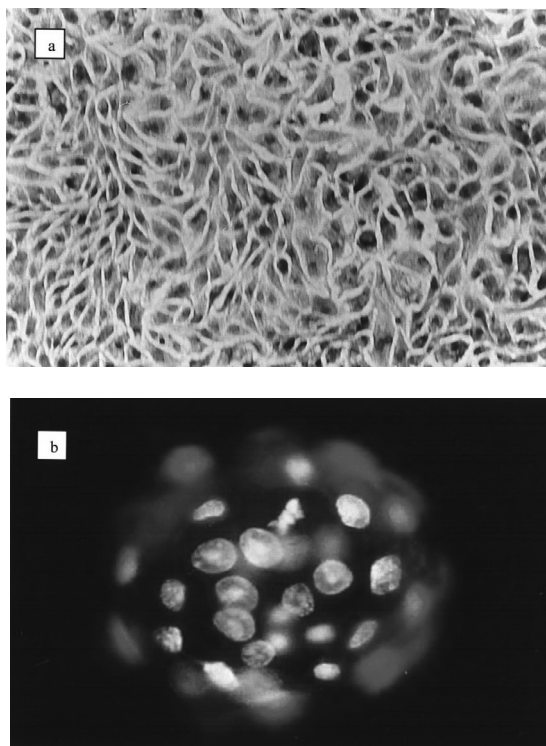
از دست رفتن قطبیت ساختاری و عملکرد متمایز سلول می گردد (۱۵، ۱۶، ۱۷، ۱۸). در چنین شرایطی سلول کشت یافته، شکل مکعبی خود را از دست داده و پهن می شود و اتصالات محکم از دست می رود. از سوی دیگر، محققین نشان داده اند که چنانچه شرایط کشت بر اساس دو ویژگی محیط in vivo سلولهای پوششی طراحی شود، سلول پوششی قطبیت و عملکرد خود را حفظ می نماید. این دو ویژگی عبارتند از: تغذیه از راه سطح قاعده ای - جانبی و تماس با ماده خارج سلولی (۱۹، ۲۰، ۲۱، ۲۲). با به کار گیری این شرایط، Classen-Linke همکاران در سال ۱۹۹۷، سلولهای پوششی رحم انسان را به حالت قطبی کشت دادند. مطالعه این محققین نشان داد که تحت چنین شرایطی فیزیولوژی سلولهای کشت یافته مشابه با حالت in vivo حفظ می گردد (۲۳).

تا به حال چندین گزارش نشان داده است که حفظ قطبیت سلولهای پوششی در طی هم کشتی با اسپرم سبب بهبود حرکت و ظرفیت لقاچی اسپرم می گردد (۲۴، ۲۵، ۲۶). ولی اطلاعات در ارتباط با تاثیر هم کشتی این سلولها بر جنین بسیار اندک است و به همین دلیل، ما تصمیم گرفتیم با قطبی کردن سلولهای پوششی رحم انسان بر روی ژل ECM، تاثیر این سلولها را در هم کشتی با جنین موش مورد ارزیابی قرار دهیم.

مواد و روشها کشت سلول

بافت اندومتریوم انسان از بیماران هیستوتومی بیمارستانهای آرش و امام خمینی تهران تهیه شد. استفاده از بافت اندومتریوم انسانی در تحقیق حاضر، توسط کمیته اخلاقی پژوهشکده روانی مورد تصویب قرار گرفت. در اتاق عمل بیمارستانهای مذکور، بافت اندومتریوم بلا فاصله پس از عمل هیستوتومی از رحم جدا شد و با محلول (HBSS: Hanks Balanced Salt Solution) شستشو شد. سپس به قطعات کوچک یک میلی متری بریده شده، بخش کوچکی از آن برای بررسی میکروسکوپ الکترونی با محلول کارنوفسکی فیکس گردید.

برای جداسازی سلولهای پوششی اندومتریوم، قطعات بافته درون آنزیم کلاژنаз نوع I (۰/۵ درصد) قرار گرفت و در دمای ۳۷ درجه سانتی گراد، به مدت ۱/۵ ساعت انکوبه شد. در اثر عمل آنزیم، عدد اندومتریوم از بافت های اطراف جدا گردیده، داخل محلول آنزیمی شناور شدند. برای جداسازی بخش اپی تیال از بافت هضم نشده، تکنیک استفاده شد. بدین ترتیب که ابتدا محلول فوق به لوله های ۱۵ سی سی منتقل شد و سپس محتویات لوله هم زده شد و به صورت عمودی قرار گرفت. پس از ۴۰ ثانیه، $\frac{2}{3}$ بالای محلول (حاوی بخش اپی تیال) به لوله نو انتقال یافت و $\frac{1}{3}$ پایینی آن (حاوی بافت هضم نشده) دور ریخته شد. محلول حاوی بخش اپی تیالی سانتریفوژ شد و رسوب سلولی حاصل در داخل محیط DMEM/HUMAN'S F12 محتوی ۱۰۰ واحد بین المللی در هر



شکل ۱: (a) فتو میکروگراف سلولهای کشت یافته روی پلاستیک، رنگ آمیزی ایمونو هیستوشیمی، (b) بلاستوسیستهای حاصل از تکوین جنینهای دو سلولی بر روی تک لایه قطبی، رنگ آمیزی افتراقی (مشاهده تصویر رنگی در انتهای مقالات)

یافته‌ها کشت سلول

یک روز پس از آغاز کشت بر روی ژل ECM، سلولهای اپی تلیال تکثیر شده و در طی ۷ روز به مرحله Confluence رسیدند. در روزهای اول کشت در سطح ژل ECM چندین جزیره سلولی قابل مشاهده بود که رفته رفته این جزایر به هم پیوسته و یکپارچه شدند. سلولهای کشت شده بر روی ژل ECM کاملاً متراکم بوده، و سطح مقطع گردی داشتند (شکل ۲a) در حالی که آنها بروی سطح پلاستیک قرار داشتند، کشیده به نظر رسیدند و فواصلی بین آنها وجود داشت (شکل ۲b). این سلولها در طی ۷ روز به مرحله Confluence رسیدند.

فراساختار

سلولهای کشت یافته بر روی ژل ECM، مشابه با اپی تلیوم قطعات یافته، ظاهری کاملاً استوانه‌ای و قطبی داشتند (شکل ۲c) و هسته در این سلولها در بخش قاعده‌ای واقع بوده و در سطح آنها میکروویلی فراوانی مشاهده شد (شکل ۲c). بین دو سلول مجاور اتصال محکم و دسموزوم برقرار و در زیر سلولها غشا پایه وجود داشت. هسته سلولهای قطبی یوکروماتین و فرو رفتگی‌هایی در پوشش آن به چشم می‌خورد.

بس از تزریق HCG به روش نخاعی کردن قربانی شدند و لوله رحم آنها جدا گردیده، در داخل قطره‌ای از محيط کشت آن با روش flushing خارج گردید.

به موازات تحریک تخمک گذاری و تهیه جنین از موش، تک لایه‌های قطبی (تک لایه‌های روی ژل ECM) و غیرقطبی (تک لایه‌های سطح پلاستیک) به روشی که در بخش قبلی توضیح داده شد، آماده گردید. ۷ روز پس از آغاز کشت، تک لایه‌ها به مرحله DMEM/Ham's F12 confluency رسیدند. در این روز محيط سلولها با BSA: Bovine Serum F12 (Albumin ۵ میلی گرم بر میلی لیتر) محتوى ۵ میلی گرم بر میلی لیتر آنها کشت گردید. در مطالعه حاضر، گروههای قطبی و غیرقطبی به ترتیب تحت عنوان گروه آزمون I و آزمون II خوانده می‌شوند و گروه محيط DMEM/Ham's F12، گروه کنترل در نظر گرفته می‌شود.

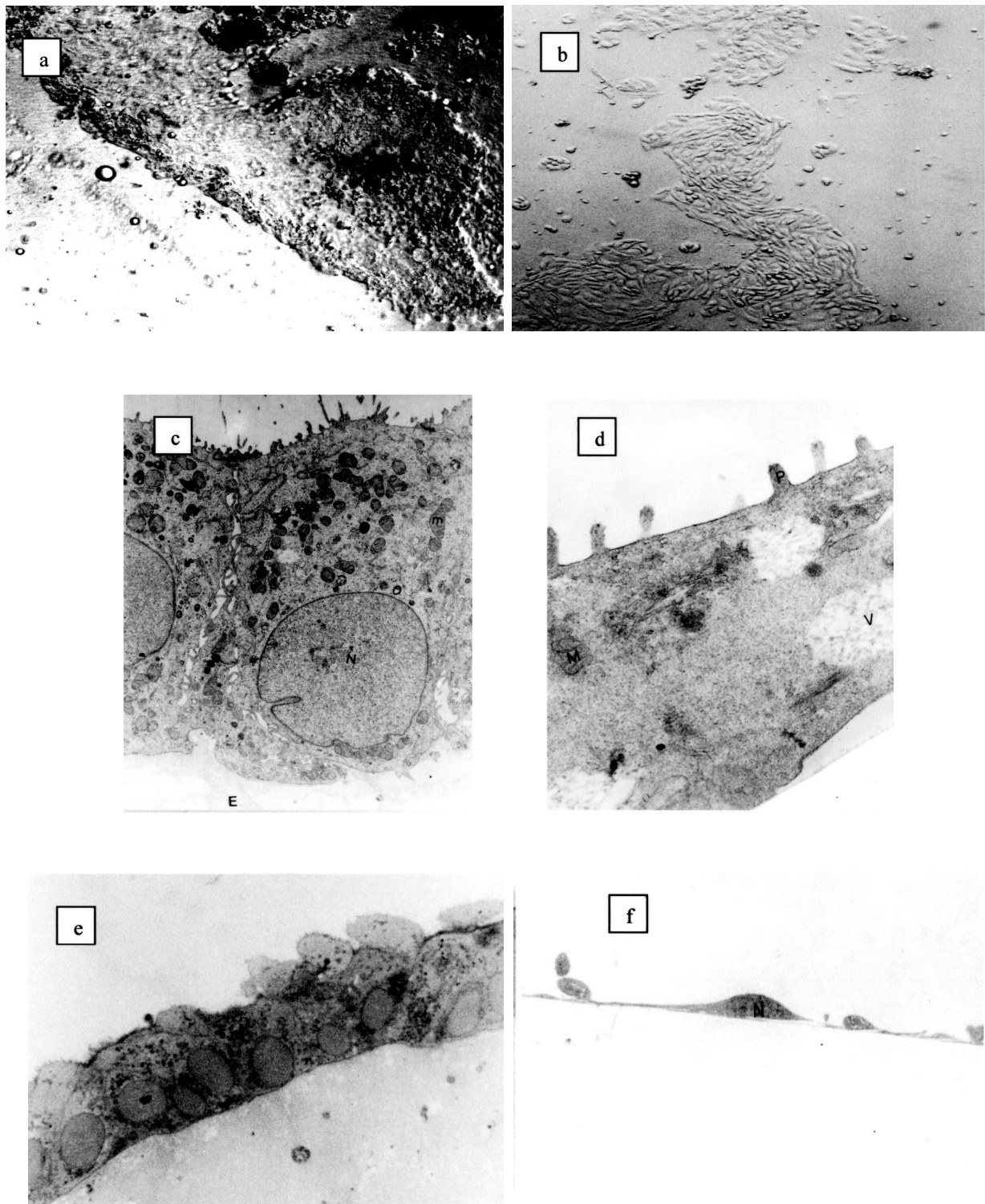
در تحقیق حاضر، هر آزمایش هم کشته ۵ بار تکرار شد. در طی ۹۶ ساعت مکشته، میزان تکوین تا مرحله بالاتر، هر ۲۴ ساعت به مدت ۹۶ ساعت مورد مشاهده قرار گرفته و در فرمهای ویژه‌ای ثبت شد.

جنینهایی که بیش از ۲۵ درصد قطعه شده بودند (۲۷) یا بلاستومر ظاهری تیره و دانه‌دانه داشت، به عنوان جنین دژنره ثبت شد و در مورد مورولا یا بلاستوسیست، آنها بی که کل‌اپس بودند، به عنوان دژنره در نظر گرفته شدند. در انتها هم کشته نتایج حاصل با روش آماری^۲ مورد تجزیه و تحلیل قرار گرفت.

رنگ آمیزی افتراقی بلاستوسیستها

در پایان دوره کشت تعدادی بلاستوسیست به طور اتفاقی انتخاب شدند و با روش Thouas و همکاران به صورت افتراقی رنگ آمیزی گردیدند (۲۸). بدین ترتیب که ابتدا بلاستوسیست در داخل ۵۰۰ میکرولیتر محلول شماره یک «محيط (MTF: Murine Tubal Fluid)» حاوی ۱۰۰ میکرو گرم بر میلی لیتر triton x-100 و ۱۰۰ پروپیدویم یدید به مدت ۱۰ ثانیه قرار گرفت و سپس به داخل ۵۰۰ میکرولیتر محلول شماره دو (محلول فیکساتیو اتانول خالص محتوى ۲۵ میکرو گرم بر میلی لیتر بیس بی‌آمید یا هو خست ۳۳۲۵۸) منتقل شده و در دمای ۴ درجه سانتی گراد به مدت ۱۲ ساعت باقی ماند و آنگاه داخل یک قطه گلیسرویل قرار گرفته و بر روی یک لام چسبانده شد و توسط میکروسکوپ معکوس مجهز به لامپ ماوراء بنفش و فیلترهای excitation ۴۶۰ نانومتر برای آبی و قرمز ۵۰۰ نانومتر برای قرمز مشاهده شد و سلولهای آن شمارش گردید. با این روش توده سلولی داخلی آبی رنگ و تروفواکتودرم قرمز رنگ شد (شکل ۱b).

در پایان نتایج شمارش سلولی با استفاده از آزمون ANOVA یک طرفه مورد تجزیه و تحلیل قرار گرفت.



شکل ۲: (a) فتو میکروگراف سلولهای کشت یافته بر روی ژل ECM و (b) پلاستیک پلی استینن. میکروسکوپ فازکتراست، بزرگنمایی $\times 100$. (c) الکترون میکروگراف سلولهای کشت یافته بر روی ژل ECM بزرگنمایی $\times 300$. (d) پلاستیک پلی استینن، بزرگنمایی $\times 2000$. (e) فتو میکروگراف سلولهای کشت یافته بر روی ژل ECM و (f) پلاستیک پلی استینن، رنگ آمیزی تولوئیدین بلو، بزرگنمایی $\times 1000$.

سلولهای قطبی شده و تکوین جنین

جدول ۱: تکوین و دژنراسیون جنینهای دو سلولی موش در همکشتی‌های سلولهای پوششی رحم با گروه کنترل

۹۶ ساعت				۷۲ ساعت				۴۸ ساعت				۲۴ ساعت				صفر
نی	نی	نی	نی	نی	نی	نی	نی	نی	نی	نی	نی	نی	نی	نی	نی	نی
۸۹ (۷۱/۷۷)	۱۵ (۱۲/۰۹)	۲۰ (۱۶/۱۲)	۵۶ (۴۵/۱۶)	۸ (۶/۴۵)	۲۳ (۲۶/۶)	۲۷ (۲۱/۷۷)	۱۸ (۱۴/۵۱)	۴۲ (۲۴/۶۷)	-(-)	۲۱ (۱۶/۹۳)	۷۲ (۵۸/۰۶)	۱۲۴	کنترل			
۲۰ ^b (۲۸/۲۰)	۲۲ ^b (۳۰/۱۸)	۲۴ ^b (۴۱/۵۰)	۲۴ ^b (۲۲/۶۴)	۱۹ ^a (۱۷/۹۲)	۵۵ ^b (۵۲/۸۳)	۱۳ (۱۲/۲۶)	۲۳ (۲۱/۶۹)	۵۵ ^a (۵۱/۸۸)	-(-)	۲۵ ^a (۳۲/۰۱)	۷۱ (۶۶/۹۸)	۱۰۶	آزمون I			
۴ ^d (۳۶/۶۹)	۲۰ ^c (۲۷/۵۲)	۲۹ ^d (۲۵/۷۷)	۲۱ ^c (۲۸/۴۴)	۱۷ ^c (۱۵/۵۹)	۵۲ ^d (۲۷/۷۰)	۱۶ (۱۴/۶۷)	۲۲ (۲۰/۱۸)	۵۴ ^c (۴۹/۵۴)	-(-)	۲۲ ^c (۲۹/۲۵)	۶۸ (۴۲/۲۸)	۱۰۹	آزمون II			

ارقام داخل پرانتز به درصد بیان شده است.

آزمون I: قطبی رحم، آزمون II: غیرقطبی رحم، کنترل: DMEM/Hams F12

a: آزمون I و کنترل ($P<0.05$), b: مقایسه آزمون I و کنترل ($P<0.001$), c: مقایسه آزمون II و کنترل ($P<0.05$), d: مقایسه آزمون II و کنترل ($P<0.001$)

جدول ۲: میانگین سلولی بلاستوسیستهای حاصل از تکوین جنینهای دو سلولی موش در گروههای رحم و کنترل

گروه	تعداد جنین	میانگین کل	میانگین درصد ICM	میانگین درصد TE
کنترل	۱۵	۷۰/۴۶±۱۹/۰۱	۷۹/۸۶±۳/۹۳	۲۰/۱۴±۳/۹۳
آزمون I	۱۴	۱۱۸/۲۵±۲/۳۹ ^{a,c}	۸۱/۳۶±۲/۱۸	۱۸/۶۴±۲/۱۸
آزمون II	۱۵	۹۵/۸۰±۲۴/۳۷ ^b	۸۰/۴۸±۳/۱۷	۱۹/۵۲±۳/۱۷

آزمون I: قطبی رحم، آزمون II: غیرقطبی رحم، کنترل: محیط DMEM/Ham's F12
a: مقایسه آزمون I و کنترل ($P<0.001$), b: مقایسه آزمون II و کنترل ($P<0.05$), c: مقایسه آزمون I و آزمون II ($P<0.001$)

قطبی بیش از گروه غیرقطبی بود ولی تفاوت معنی دار نبود (جدول ۱). نتایج شمارش سلولی نشان داد که بلاستوسیست تکوین جنین یافته در گروه قطبی و غیرقطبی بیش از گروه کنترل سلول دارد این تفاوت معنی دار بود (به ترتیب $P<0.001$ و $P<0.05$). همچنین از این لحاظ، گروه قطبی در مقایسه با گروه غیرقطبی بهتر عمل کرد و تعداد سلول بلاستوسیستهای حاصل از گروه قطبی به طور معنی داری بیش از غیرقطبی بود ($P<0.05$). میانگین درصد تروفواکتوئدرم در گروه قطبی بیش از دو گروه دیگر بود ولی تفاوتها معنی دار نبود (جدول ۲).

بحث

تا به حال سلولهای پوششی اندومتریوم انسان با هدفهای مختلفی بر روی ژل ECM کشت شده است. برای مثال Bentin-lay و همکاران، از چنین کشتی برای مطالعه تغییرات سطوح سلولهای اپی تلیالی در زمان لانه گزینی بلاستوسیست ($n=30$ ، 29) استفاده کرده‌اند. در حالی که Arnold و همکاران با کشت سلولهای پوششی اندومتریوم بر روی ژل ECM سعی کردند تا نقش تنظیمی سلولهای داریستی را در ارتباط با عملکرد و سورفوتزیس سلولهای پوششی روش سازند. این محققین سلولهای داریستی را در زیر سلولهای پوششی و داخل ژل ECM کشت دادند ($n=31$). Park و همکاران در سال ۲۰۰۳ یک سیستم کشت سه‌بعدی از اندومتریوم ایجاد کردند که در آن سلولهای داریستی اندومتریوم انسان داخل مخلوطی از کلارن و ژل ECM و سلولهای

سیتوپلاسم این سلولها حاوی میزان زیادی میتوکندری کروی دراز و همچنین مقادیر زیادی مخازن ER بود. به طور کلی سلولهای کشت یافته بر روی ژل ECM تشبیه زیادی به سلولهای پوششی قطعات بافتی داشتند.

سلولهای کشت یافته بر روی پلاستیک (سلولهای غیرقطبی) در مقاطع تهیه شده، دوکی شکل ظاهر شدند (شکل ۲۴). این سلولها تنها چند زایده راسی کوتاه داشتند (شکل ۲۵). امتداد دو سلول مجاور روی هم قرار گرفته و در بعضی موارد اتصالات شیوه دسموزوم برقرار بود.

اتصال محکم بین دو سلول مشاهده نشد. هسته سلولها نسبتاً بزرگ بود و بخش عمده سلول را اشغال می‌کرد. سیتوپلاسم سلولهای غیرقطبی اندک بوده و ارگانل زیادی در آن مشاهده نشد و تنها چند میتوکندری و ER و اوكتلهای نسبتاً درشت وجود داشت (شکل ۲۵).

همکشتی

در مجموع ۳۷۵ جنین دوسلولی در گروههای قطبی (آزمون I، $n=106$) و غیرقطبی رحم (آزمون II، $n=109$) و کنترل (آزمون III، $n=160$) کشت شد. دو گروه هم کشتی در مقایسه با کنترل به طور معنی داری، تکوین را بهبود بخشیدند. در این گروه، میزان دژنراسیون جنین به طور معنی داری کمتر از گروه کنترل بود. درصد بلاستوسیست و بلاستوسیست در حال خروج از زونای گروه

فاصله دو سلول مجاور، استقرار قاعده‌ای هسته و تشکیل میکروویلی در سطح راسی سلولهاست. با درنظر گرفتن این معیارها، تصاویر مقاطع ظریف مانشانگر قطبی بودن سلولهای کشت شده بر روی ژل ECM بود.

مشکل اصلی در این تحقیق انتخاب نوع محیط کشت بود. این محیط می‌بایست جنین و سلولهای feeder را به خوبی حمایت می‌کرد. Frasor و همکاران در سال ۱۹۹۶ این نکته را مورد بررسی قرار داده‌اند. این محققین جنبه‌ای دوسلولی موش را با سلولهای پوششی لوله رحم در دو محیط HTF (محیط مناسب برای تکوین جنین) و MEM- α (محیط مناسب برای رشد سلولهای سوماتیک) هم کشتی دادند. نتایج نشان داد که رشد جنبه‌ها در گروه هم کشتی با محیط MEM- α بیش از گروه هم کشتی با محیط HTF است. در گروه MEM- α ، درصد جنبه‌ها به مرحله خروج از زونا رسیدند در حالی که تنها ۵۱ درصد آنها در گروه HTF به این مرحله تکاملی دست یافتند. این محققین نتیجه گرفتند که در سیستمهای هم کشتی، تامین نیازهای سلولهای سوماتیک خودبه‌خود، سبب بهبود رشد جنبه خواهد شد. در مطالعه حاضر نیز با در نظر گرفتن این نکته و آزمودن چندین محیط کشت، DMEM/Ham's F12 به عنوان محیط هم کشتی انتخاب گردید. در واقع این محیط تنها محیطی بود که توانست کشت سلولهای پوششی بر روی ژل ECM را حمایت کند (۳۷). Freeman و همکاران نیز از محیط DMEM/Ham's F12 در سیستمهای هم کشتی استفاده نموده‌اند (۲۷). براساس نتایج حاصل میزان تشکیل بلاستوسیست اندکی بیش از نتایج تحقیق حاضر است که این مسئله را می‌توان به تفاوت‌های زننگی مابین مشاهای مورد استفاده در دو تحقیق B6C35 در مقابله NMRI (۳۸) نسبت داد.

بر اساس نتایج حاصل، تقریباً ۷۱/۵ درصد جنبه‌های دوسلولی در گروه هم کشتی قطبی پس از گذشت ۹۶ ساعت کشت، به مرحله تکاملی بلاستوسیست و بلاستوسیست در حال خروج از زونا رسیدند در حالی که این میزان در گروه غیرقطبی ۶۴/۳ درصد بود با وجود اختلاف ۸/۵ درصد این تفاوت‌ها معنی دار نبود. آتشجه را که می‌توان مزیت گروه قطبی بر غیرقطبی در نظر گرفت، پرسلول بودن بلاستوسیستهای گروه قطبی در مقایسه با غیرقطبی است. به نظر می‌رسد که تاثیرات مثبت سلولهای قطبی به صورت افزایش تعداد سلول بلاستوسیست تجلی پیدا می‌کند. نتایج شمارش سلولی و مقایسه آماری آنها به خوبی موید این نکته است. محققین معتقدند که بالا بودن میانگین سلولی در بلاستوسیست نشانگر بالا بودن میزان تسهیمات اولیه در جنین است. این جنبه‌ها در مقایسه با جنبه‌های کم سلول، از توان زیستی بیشتری برخوردارند و به دلیل توانایی در تولید مایع بیشتر و در نتیجه کسب قطر مناسب و تولید بیشتر Zona lysin، لانه گزینی بهتری دارند (۳۹، ۴۰). مطالعات نشان می‌دهد که در بلاستوسیست اولیه موش، ۶۰ درصد سلولها از نوع تروفواکتودرم و ۴۰ درصد از نوع ICM است. با پیشرفت تکامل این درصدها تغییر می‌کند به طوری که در بلاستوسیست پیش از لانه گزینی، تروفواکتودرم حدود ۸۳ درصد و ICM ۱۷ درصد سلولهای

پوششی بر سطح آن کشت شد. این محققین در مرحله بعد، به جای سلولهای پوششی اندومتریوم نوعی سلول موسوم به KLE (سلول سلطانی اندومتریوم با منشا اپی تیال) را بر سطح مخلوط کلاژن ۱ و ژل ECM کشت دادند و تهاجم سلولهای KLE به داخل بخش داریستی را مورد مطالعه قرار دادند (۳۲). از دیگر مطالعات مربوط به کشت سلولهای پوششی رحم بر روی ژل ECM می‌توان به تحقیق Classen-Linke و همکاران اشاره کرد. این محققین با کشت سلولهای پوششی رحم بر روی ژل ECM به بررسی رسپتورهای استروژن و پروژسترون در سلولهای کشت یافته پرداخته، با تکنیک ایمونوهیستوشیمی و RT-PCR نشان دادند که این رسپتورها در غشا سلولهای کشت شده وجود دارند. محققین مذکور، با اضافه کردن آنانلوگ پروژسترون (MPA) به محیط کشت، تجمع گلیکوژن را در سیتوپلاسم سلولهای کشت یافته القا کردند. Classen و همکاران پیشنهاد کردند که کشت سلولهای پوششی رحم بر روی ژل ECM، وسیله‌ای ارزشمند برای مطالعه فرآیند تمايز و عملکردهای تولیدمثی است (۲۳). یکی دیگر از اهداف کشت سلول بر روی ژل ECM، استفاده آنها در سیستمهای هم کشتی به عنوان لایه feeder است. Pollard در سال ۱۹۸۹ اظهار کرد که حفظ قطبیت سلول پوششی، در سیستم هم کشتی، برای افزایش تاثیرات مثبت آن ضروری است (۳۳). یک سال بعد Ouhibi و همکاران سلولهای پوششی لوله رحم گاو و موش را قطبی کردن و پتانسیل امربیترووفیک آنها را با انجام هم کشتی مورداریزابی قرار دادند. نتایج آنها حاکی از این بود که حفظ قطبیت لایه feeder، تکوین جنبه را بهبود نمی‌بخشد (۳۴). نکته‌ای که باید به آن اشاره کرد این است که محققین فوق برای کشت قطبی از ژل ECM، به عنوان القاکننده مهم قطبیت، استفاده نکردند و همچنین قطبی بودن سلولها را ارزیابی ننمودند. این درحالی است که تعدادی از محققین، سلولهای پوششی لوله رحم را بر روی ژل ECM کشت داده‌اند و با کشت اسپرم بر روی آن، بهبود حرکت و ظرفیت لقاخی آن را گزارش نموده‌اند (۲۴، ۲۵). در مطالعه حاضر، سلولهای پوششی رحم انسان بر روی ژل ECM کشت شد و پس از ارزیابی و تایید قطبیت آن، توان آنها در بهبود تکوین موش مورد آزمایش قرار گرفت.

ارزیابی قطبیت سلول با استفاده از میکروسکوپ الکترونی Transmission يکی از نشانه‌های قطبیت در سطح فراساختاری، وجود اتصال محکم در میان غشا راسی و جانبی سلول است. Vega Salas و همکاران اعتقاد دارند که تعامل میان ماده خارج سلولی و سلول پوششی سبب توزیع متفاوت پروتئینها در سطوح تعماصی (contacting) و غیرتعماصی Non contacting سلول می‌شوند (۳۶). همچنین این تعاملها محور قطبیت قاعده‌ای راسی (apical-basal axis of polarity) را تعریف می‌کند که از نشانه‌های آن محل قرارگیری اتصال محکم در میان غشا راسی و جانبی است. اعتقاد بر این است که این اتصال از اختلالات پروتئینهای ویژه domain مختلف غشا را ممانعت به عمل می‌آورد. از دیگر نشانه‌های قطبیت سلول در سطح فراساختاری، کاهش

ترشحی سلولهای قطبی شده لوله رحم در مقایسه با غیرقطبی آن متفاوت است (۴۳). همچنین *Woldesenbet* و همکاران در سال ۲۰۰۳ نشان داده‌اند که سلولهای قطبی شده لوله رحم بزء، ترشحات مشابهی با قطعات بافتی کشت شده دارند (۴۴). نکته دیگر در ارتباط با مکانیسم تاثیر سلولهای قطبی شده، نقش تاثیرات مثبت تماس مستقیم سلولهای هم کشتی با جنین است. قطع این تماس تاثیرات مثبت هم کشتی را کاهش می‌دهد. در کشت قطبی به دلیل اینکه سلولها در مقایسه با غیرقطبی متراکم‌تر هستند، هر جنین با تعداد بیشتری از سلولها در تماس است و شاید تاثیرات بیشتری دریافت می‌کند. به هر حال تعیین دقیق نوع، میزان ترشحات سلولهای قطبی شده و نیز ارتباط بین میزان سطح تماس جنین و سلول قطبی با افزایش سلولاریتی بلاستوسیست به مطالعه بیشتری نیاز دارد.

تقدیر و تشکر

تحقیق حاضر بخشی از طرح تحقیقاتی مصوب پژوهشکده رویان بوده و نویسنده‌گان مراتب تقدیر و تشکر خود را از مساعده‌های صمیمانه مسئولین محترم پژوهشکده رویان ابراز می‌دارند.

یک بلاستوسیست را تشکیل می‌دهند (۴۰). در توضیح این موضوع، Hardy و همکاران در سال ۱۹۸۹ نشان داده‌اند که در طی ۳۶ ساعت اول پس از تشکیل بلاستوسیست، تروفواکتودرم به صورت لگاریتمی افزایش یافته و همزمان با آن، افزایش تعداد سلولهای بخش ICM به *expand* است که در صد تروفواکتودرم در زمان بلاستوسیست *Sherban* می‌یابد (۴۱). نتایج شمارش سلولی نیز مovid این نکته است (۴۲) در کار حاضر نیز براساس نتایج به دست آمده، در صد تروفواکتودرم در گروههای قطبی بیش از غیرقطبی بود (بدون تفاوت آماری). لذا اگر بپذیریم که زیاد بودن درصد تروفواکتودرم نشانه مرحله تکاملی بالاست به نظر می‌رسد که جنبه‌های حاصل از گروه هم کشتی، در مرحله تکاملی بالاتری قرار داشتند.

به نظر می‌رسد که تاثیرات مثبت سلولهای قطبی بر تکوین جنین موش که به شکل افزایش میانگین سلولی بروز بیدا می‌کند، با مورفولوژی *feeder* خاص این سلولها مرتبط است. با توجه به اینکه سلولهای تاثیرات خود را با ترشحات امбрیوتروفیک اعمال می‌کنند، شاید سلولهای قطبی شده ترشحات متفاوتی دارند. به هر حال این فرضیه، مطالعات بیشتری می‌طلبد. گزارشاتی وجود دارد که نشان می‌دهد پروتئینهای



References

- Quinn P, Kerin JF, Warnes GM: Improved pregnancy rate in human in vitro fertilization with the use of a medium based on the composition of human tubal fluid. *Fertil Steril* 1985;44: 493-498
- Tervit HR, Whittingham DG, Rowson LEA: Successful culture in vitro of sheep and cattle ova. *J Reprod Fertil* 1972; 30: 493-497
- Neider GL, Macon GR: Uterine and oviductal protein secretion during early pregnancy in the mouse. *J Reprod Fertil* 1987; 81: 287-29.
- Leese, HJ: The formation and function of oviduct fluid. *J Reprod Fertil* 1988; 82: 283-856
- Bowman P, McLaven A: Cleavage rate of mouse embryos in vivo and in vitro. *J Embryol Exp Morphol* 1970; 24: 203-207
- Harlow GM, Quinn P: Development of preimplantation mouse embryo in vivo and invitro. *Aust J Biol Sci* 1982; 35: 187-193
- Erbach GT, Lawitts JA, Papaioannou VE, Biggers JD: Differential growth of the mouse preimplantation embryo in chemically defined media. *Biol Reprod* 1994; 50:1027-1033
- Jung T, Fisher B: Correlation between diameter and DNA or protein synthetic activity in rabbit blastocyst. *Biol Reprod* 1988; 39: 1111-1116
- Carney EW, Foote RH: Effects of super ovulation, embryo recovery, culture system and embryo transfer on development of rabbit embryos in vivo and in vitro. *J Reprod Fertil* 1990; 89: 543-551
- Fitzgerald L, Di Mattina M: Improved medium for long-term culture of human embryos overcomes the in vitro developmental block and increase blastocyst formation. *Fertil steril* 1992; 57: 641-647
- Barmat LI, Worrill KC, Payton BV: Growth factor expression by human oviduct and buffalo rat liver co-culture cells. *Fertil steril* 1997; 67: 775-779
- Thibodeaux J, Godke R: In vitro enhancement of early stage embryos with co-culture. *Arch Pathol Lab Med* 1992; 116: 364-372
- Fukui Y, McGowan LT, James RW, Pugh PA, Tervit HR: Factors affecting the in vitro development of blastocysts of bovine oocytes matured and fertilized in vitro. *J. Reprod Fertil* 1991; 92: 125-131
- Bongos A, Soon-Chye NG, Chui-Yee Fong, Shan Ratnam: Co-cultures: a new lead in embryo quality improvement for assisted reproduction. *Fertil steril* 1991; 56: 179-191
- Glasser ER, Julian J, Decker GL, Tang JP, Carsen DD: Development of morphological and functional polarity in primary cultures of immature rat uterine epithelial cells. *J Cell Biol* 1988; 107: 2409-2423
- Jacobs AL, Decker GL, Glasser SR, Carsen DD: Vectorial secretion of prostaglandins by polarized rodent uterine epithelial cells. *Endocrinology* 1990; 126: 2125-2136
- Schatz F, Gordon RE, Lanfer N, Gurpide E: Culture of human endometrial cells under polarizing conditions. *Differentiation* 1990; 42: 184-190
- Mani SK, Decker GL, Glasser SR: Hormonal Responsiveness by immature rabbit uterine epithelial

- cells polarized in vitro. *Endocrinology* 1991; 128: 1563-1573
19. Ailenberg M, Fritz IB: Control at levels of plasminogen activator activity secreted by sertoli cells maintained in a two-chamber. *Endocrinology* 1988; 12: 2613-2618
 20. Carsen DD, Tang J-P, Julian J, Glasser SR: Vectorial secretion of proteoglycans by polarized rat uterine epithelial cells. *J Cell Biol* 1988; 197: 2425-2434.
 21. Chembard M, Verrire B, Gabrion J, Mauchamp J: Polarization of thyroid cells in culture:evidence for basolateral localization of the iodide pump and at the thyroid stimulatinghormone receptor-adenylyl cyclase complex. *J Cell Biol* 1983; 96: 1172-1177
 22. Hardley MA, Byers SW, Sn arez Quarez-Quijan CA, Kleinman HA, Dym M: Extracellularmatrix regulates sertoli cell differentiation, testicular cord formation, and germ celdevelopment in vitro, *J Cell Biol* 1985; 101: 1511-1522
 23. Classen-Linke I, Kusche M, Knauth R, Beier HM: Establishment of a humanendometrial cell culture system and characterization of its polarized hormone responsiveepithelial cells. *Cell Tissue Res* 1997; 284: 171-185
 24. Pollard JW, Plante C, King WT, Hansen PJ, Betteridge KJ, Suarez SS: Fertilizing capacityof bovine sperm may be maintained by binding of oviductal epithelial calls. *Biol Reprod* 1991;44: 102-107
 25. Sidhu KS, Mat KE, Rodger JC: Sperm-oviduct epithelial cell monolayer co-culture: an invitro model of sperm female tract interactions in a marsupial, the tamer wallaby (*macropusengenii*). *J Reprod Fertil* 1988; 114: 55-61
 26. Ellington JE, Jones AE, Davitt CM, Schneider CS, Brishois RS, et al: Human spermfunction in co-culture with human, macaque or bovin oviduct epithelial cells monolayers. *Hum Reprod* 1998; 13: 2797-2804
 27. Freeman MR, Bastias MC, Hill GA, Osteen KG: Co-culture of mouse embryos with cellsisolated from the human ovarian follicle, oviduct and uterine endometrium. *Fertil Steril* 1993;1: 138-142
 28. Thouas GA, Korfiatis NA, French AJ, Jones GM, Trounson AO: Simplified technique for differential staining of inner cell mass and trophoectoderm cells of mouse and bovineblastocysts. *Reprod, Biol, Med*, Online 2001/149 on web 17 june 2001
 29. Bentin-Ley U, Horn T, Siogren A, Sorensen S, Falck Larsen J, et al: Ultra structure ofhuman blastocyst-endometrial interactions in vitro. *J Reprod Fertil* 2000; 120: 337-350
 30. Bentin-Ley U, Siogren, Nilsson L, Hamberger L, Larsen JF, Horn T: Presence of uterinepinopodes at the embryo-endometrial interface during human implantation. *In vitro humReprod* 1999; 14: 515-520
 31. Arnold JT, Kaufman DG, Seppala M and Lessey BA: Endometrial stromal cells regulateepithelial cell growth in vitro: a new co-culture modal. *Hum Reprod* 2001; 5: 836-845
 32. Park DW, Choi DS, Ryn HS, Know HC, Joe H, Min CK: A well-defined in vitro threedimensional culture of human endometrium and its applicability to endometrial cancerinvasion. *Lett* 2003; 195: 185-192
 33. Pollard JW, Xu KP, Porie R, King WA, Betteridge KJ: Influence of various oviductalepithelial cell culture systems on the development of early cleavage stage bovine embryos invitro. *Theriogenology* 1989; 31: 239
 34. Ouhibi N, Hamidi J, Guillad J, Menezo Y: Co-culture of one cell mouse embryo ondifferent cell support. *Hum Reprod* 1990; 5: 737-743
 35. Bentin-Ley U, Pederson B, Linderberg S, Larsen JB, Hamberger L, Horn T: Isolation andculture of human endometrial cells in a three-dimensional culture system. *J Reprod Fertil* 1994; 161: 327-335
 36. Vega Salas DE, salas PJ, Gunderson D, Rodriguez-Boulan E: Formation of theapical pole of epithelial (madin-Darby Canine Kidney) cells: Polarity of an apical protein isindependent of tight junctions while segregation of a basolateral marker requires cell-cellinteractions. *I Cell Biol* 1987; 104: 905-916
 37. Frasor J, Sherbehni R, Soltes B, Molo MW, Binor Z, Radwanska E, Rawlins R: Animal experimentation: optimizing tubal epithelial cell growth promotes mouse embryohatching in co-culture. *J Assit Reprod Gen* 1996; 5: 423-430
 38. Boatman DE: In vitro growth of non-human primate pre-and peri-implantationembryos. In Bavister B.d>(ed.). *Mammalian preimplantation Embryo*. Plenum Press, 1987: 273-308
 39. Schiwe MC, Hazeleger NI, Sclimenti C, Balmaceda JP: Physiological characterizationof blastocyst hatching mechanisms by use of a mouse antihatching modal. *Fertil Steril* 1995; 63: 288-294
 40. Handyside AH, Hunter S: Cell division and death in the mouse blastocyst beforeimplantation. *Roux,s Arech Dev Biol* 1986; 195: 519-526
 41. Hardy K, Handyside AH, Winston RM: The human blastocyst: cell number, deathand allocation during late preimplantation development in vitro. *Development* 1989; 107:597-604
 42. Sherban R, Frasor J, Rad wanska, Binor Z molo MW, Hibner M, Mack S and Rawlines RG: Comparison of mouse embryo development in open and micro drop Co-culture systems. *Hum Reprod* 1996; 10: 2223-2229
 43. Thomas PG, Ignotz GG, Ball BA, Miller PG, Brinsko SP, Currie B: solation Culture and characterization of equine oviduct epithelial cells in vitro. *Mol Reprod Dev* 1995; 41: 468-478
 44. Woldeisenbet S, Newton GR: Comparison of proteins synthesized by polarized caprineoviductal epithelial cells and oviductal explants in vitro. *Theriogenology* 2003; 60: 533-543

